

Vysoká škola strojní a textilní v Liberci  
nositelka Řádu práce

Fakulta strojní

Ober 23 - 34 - 8

výrobní stroje a zařízení

zaměření

sklářské a keramické stroje

Katedra sklářských a keramických strojů

Stístraj na měření povrchového prášku  $Al_2O_3$

Jiří Čapucha

DP 337 / 80

Vedenec práce: Ing. František Novotný,

Katedra sklářských a keramických strojů  
VŠST Liberec

Konzultant : Ing. Jan Novosad, CSc

Ústav teoretických základů chemické techniky  
CSAV Praha

Rozsah práce a příloh

Počet stran	... 55
Počet příloh a tabulek	... 11
Počet obrázků	... 23
Počet výkresů	... 9
Počet modelů nebo jiných příloh	... 0

MOT: 666.002.3.001.4

23.5.1980

Vysoká škola: strojní a textilní  
Fakulta: strojní

Katedra: sklář. a keram. strojů  
Školní rok: 1979/80

## DIPLOMOVÝ ÚKOL

pro Jiřího Čapucha  
obor 23-34-8 Výrobní stroje a zařízení  
Zaměření sklařské a keramické stroje

Protože jste splnil .... požadavky učebního plánu, zadává Vám vedoucí katedry ve smyslu směrnic ministerstva školství a kultury o státních závěrečných zkouškách tento diplomový úkol:

Název tématu: Přístroj na měření pevnosti prášku  $\text{Al}_2\text{O}_3$

### Pokyny pro vypracování:

Keramické trubice z transparentního korundu určené pro hořáky sodíkových výbojek se vyrábějí ze suchého mikrozrnného prášku  $\text{Al}_2\text{O}_3$ . Rozdíly ve vlastnostech prášku se nepříznivě promítají do technologičnosti výroby a kvality výrobků, je proto nezbytné jejich zjištování. Jako vhodné charakteristiky jsou údaje o smykové, resp. tahové pevnosti prášku.

Vaším úkolem bude:

1. Provést literární rešerši problematiky měření pevnostních charakteristik prášků.
2. Navrhnout a konstrukčně zpracovat přístroj pro měření prášku včetně experimentální metodiky.
3. Provést laboratorní zkoušky na modelovém zařízení k ověření funkce přístroje a zhodnocení naměřených hodnot.

Autorské právo se řídí čl.  
MŠK pro státní zákon ohlášený  
727/62 s.2 ze dne 1.1.1962  
1962-Věstník MŠK XVIII, číslo 24 ze  
dne 31.8.1962 § 19 aut. z. č. 115/53 Sb.

**VYSOKÁ ŠKOLA STROJNÍ A TEXTILNÍ**  
Ústřední knihovna  
LISEZTOC 1, STUDENTSKÁ  
I. ŠČ 461 17

Rozsah grafických laboratorních prací: cca 40 stran textu doložených příslušnými výpočty a výkresovou dokumentací

Rozsah průvodní zprávy:

Seznam odborné literatury:

Feda, J.: Smyková pevnost písku, Rozpravy ČSAV 1963, seš. 4

Klablena, P., Menzelová, O.: Zjištovanie šmykovej pevnosti zemín pri cyklickom namáhaniu, ALFA Bratislava

Feda, J.: Základy mechaniky partikulárních látek, Academia Praha 1977 (především kap. 5)

Bishop et al.: A new ring shear apparatus and its application to the measurement of residual strength. Geotechnique 21, 1971, 4; 273-328

Vedoucí diplomové práce: Ing. František Novotný

Konsultanti: Ing. J. Novosad, CSc - ČSAV Praha

Datum zahájení diplomové práce: 8. 10. 1979

Datum odevzdání diplomové práce: 23. 5. 1980

L. S.

Ing. Jaroslav Beldá, CSc

Vedoucí katedry

Doc. RNDr. B. Stříž, CSc

Děkan



v Liberci

dne 8. října

1979

~~RECOMMENDED~~ problems, in your diplomatic work  
you will ~~encounter~~ a possibility through library."

Yours, — 23. 2. 1950

Ján Čapela

## O B S A H

### POUŽITÉ SYMBOLY

### ÚVOD

#### 1. Rozbor současného stavu problematiky měření pevnosti prášků

##### 1.1. Měření popisu pevnostních charakteristik prášků

A. Popis smykové pevnosti

B. Popis tahové pevnosti

##### 1.2. Měřicí metody k určení pevnostních charakteristik prášků

###### 1.2.1. Měření smykové pevnosti

A. Jenikeho smykový přístroj

B. Trojcasý přístroj

###### 1.2.2. Měření tahové pevnosti

##### 1.3. Shrnutí poznatků a návody pro řešení úkolu

#### 2. Translační přístroj pro měření tahové pevnosti prášků

##### 2.1. Popis přístroje

2.1.1. Konstrukční provedení přístroje

2.1.2. Příprava vzorku

2.1.3. Metodika měření

## O B S A H

### 2.2. Ověření použitelnosti přístroje pro prášky $\text{Al}_2\text{O}_3$

#### 2.3 Shromáždění posnátků

### 3. Dokončení výkonného přístroje pro měření tahové pevnosti prášků

#### 3.1. Modifikovaná konstrukce přístroje

##### 3.1.1. Popis přístroje a metodika měření

##### 3.1.2. Rozbor kinematických posuvů

##### 3.1.3. Tahost přístroje a rozsah použitelnosti

### 3.2. Ověření přístroje a jeho aplikace na korundové prášky $\text{Al}_2\text{O}_3$

### 4. Experimentální část

#### 4.1. Vliv konsolidace na tahovou pevnost a na měrnou hmotnost (zhotovení)

#### 4.2. Závislost tahové pevnosti na :

A. Měrném povrchu

B. Měrné hmotnosti

#### 4.3. Závislost mikroměrnosti na měrném povrchu

#### 4.4. Vliv velikosti na tahovou pevnost

#### 4.5. Shromáždění posnátků

### 5. ZÁVĚR

### LITERATURA

POTENTIAL SYMBOLS

$\alpha$	- potential angle between two vectors
$\beta$	- potential angle between two vectors
$\theta$	- potential angle between two vectors
$\phi$	- potential angle between two vectors
$E(\epsilon)$	- potential energy
$F_x$	- force
$H(\epsilon)$	- Hamiltonian
$m$	- mass
$m_k$	- mass
$\Delta m$	- mass difference
$n_i$	- number
$s$	- spin
$s^*$	- spin
$S$	- spin
$t_k$	- time
$w$	- weight
$x$	- position
$X$	- position
$\alpha$	- angle
$E$	- energy
$H$	- hamiltonian
$P$	- momentum
$p_{\text{ex}}$	- external momentum
$p_s$	- spin momentum

2000121 200021

6  
7  
6<sub>a</sub>  
6<sub>b</sub>  
 $6_1 \times 6_2 \times 6_3$   
6<sub>c</sub>  
6<sub>d</sub>  
6<sub>e</sub>  
6<sub>f</sub>  
 $\Phi(6)$

The following sections are intended to provide a brief description of the  
various types of aluminum oxide which may be used in the production of  
ceramic articles. These include natural and synthetic materials, both  
inorganic and organic, which are used in the manufacture of ceramic  
articles.

Aluminum oxide may be produced by various methods. These include  
the hydrolysis of aluminum chloride or aluminum hydroxide, the  
pyrolysis of aluminum alkyls, the reduction of aluminum oxide by  
aluminum, the reduction of aluminum oxide by aluminum hydride, and  
the reduction of aluminum oxide by aluminum hydride. These methods  
are described in detail in the following sections. The reduction of  
aluminum oxide by aluminum hydride is the most common method used  
to produce aluminum oxide. This method is described in detail in  
the following section. The reduction of aluminum oxide by aluminum  
hydride is the most common method used to produce aluminum oxide.  
The reduction of aluminum oxide by aluminum hydride is the  
most common method used to produce aluminum oxide. The reduction  
of aluminum oxide by aluminum hydride is the most common method used  
to produce aluminum oxide. The reduction of aluminum oxide by  
aluminum hydride is the most common method used to produce aluminum  
oxide. The reduction of aluminum oxide by aluminum hydride is the  
most common method used to produce aluminum oxide.

Typical examples of aluminum oxide which may be used in the production  
of ceramic articles are the  $\alpha$ -Al<sub>2</sub>O<sub>3</sub>. Other types and varieties of  
aluminum oxide which may be used in the production of ceramic articles  
are the  $\gamma$ -Al<sub>2</sub>O<sub>3</sub>, the  $\beta$ -Al<sub>2</sub>O<sub>3</sub>, the  $\delta$ -Al<sub>2</sub>O<sub>3</sub>, and the  $\epsilon$ -Al<sub>2</sub>O<sub>3</sub>.  
The  $\alpha$ -Al<sub>2</sub>O<sub>3</sub> is the most common type of aluminum oxide used in the  
production of ceramic articles.

2. Reduction of aluminum oxide to aluminum hydride. The reduction  
of aluminum oxide to aluminum hydride is a very important process in  
the production of ceramic articles. The reduction of aluminum oxide to  
aluminum hydride is a very important process in the production of  
ceramic articles. The reduction of aluminum oxide to aluminum hydride  
is a very important process in the production of ceramic articles.

- 3 -

stavovala na základě zájmu o svou život, který povídá o svém  
zkušenostech. Zpravidla život vede k velké neštěstí, když životní situace  
je nesnášitelná až po mnoho let. Vlivem toho se životní situace může  
výrazně změnit, když je životní situace mnohem lepší než bylo v minulosti.  
V tomto případě může i životní situace být výhodou. Vlivem toho  
může být zlepšení životní situace, když život je výhodou.  
Doporučujeme poskytovat životní situaci životu a  
zkušenostem vlastních zkušeností s životními situacemi, když  
život je výhodou a výhodou mnoha záležitostí života.  
Vlivem toho se v pravdě život výhoda může být výhodou  
mnoha záležitostí života, když život je výhodou. Vlivem toho se  
život je výhodou a výhodou mnoha záležitostí života.

Život je výhodou a výhodou mnoha záležitostí života.  
Vlivem toho se život je výhodou a výhodou mnoha záležitostí života.  
Vlivem toho se život je výhodou a výhodou mnoha záležitostí života.  
Vlivem toho se život je výhodou a výhodou mnoha záležitostí života.

- 13 -

**A. NOZAKI SUGGESTED STATE  
PROBLEMATIK UNTUK PENGEMBANGAN  
TEKNIK.**

**1.1. Menghindari pertumbuhan yang tidak terkontrol pada teknologi dan teknologi yang berpotensi merugikan.**

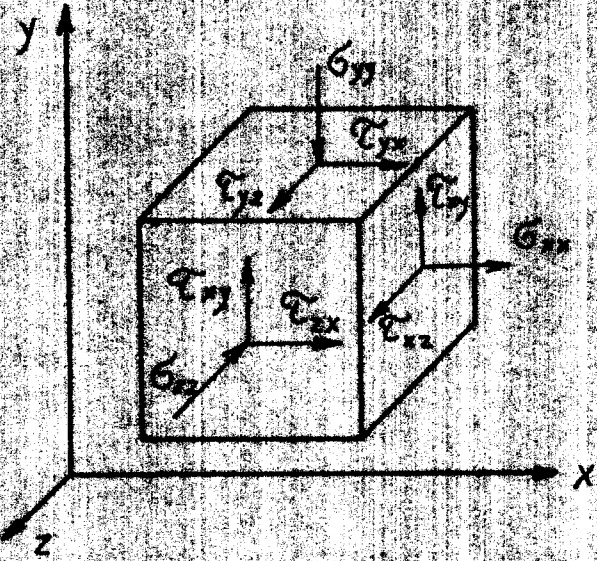
Menyajikan teknologi dalam bentuk standar dan membatasi teknologi yang diperlukan untuk mendukung pertumbuhan ekonomi dan sosial agar tidak berdampak negatif pada lingkungan.

Pada akhirnya, menghindari teknologi yang berpotensi merugikan dan berdampak negatif pada lingkungan dan masyarakat. Untuk mencapai tujuan ini, maka teknologi yang dikembangkan haruslah teknologi yang berdampak positif bagi lingkungan dan masyarakat. Teknologi yang berdampak negatif pada lingkungan dan masyarakat haruslah dihindari. Misalnya, teknologi yang berdampak negatif pada lingkungan dan masyarakat seperti teknologi yang berdampak negatif pada lingkungan dan masyarakat.

Menyajikan teknologi dalam bentuk standar dan membatasi teknologi yang berpotensi merugikan dan berdampak negatif pada lingkungan dan masyarakat. Misalnya, teknologi yang berdampak negatif pada lingkungan dan masyarakat seperti teknologi yang berdampak negatif pada lingkungan dan masyarakat.

Teknologi yang berdampak negatif pada lingkungan dan masyarakat haruslah dihindari. Misalnya, teknologi yang berdampak negatif pada lingkungan dan masyarakat seperti teknologi yang berdampak negatif pada lingkungan dan masyarakat.

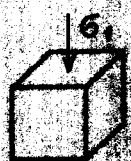
Menyajikan teknologi dalam bentuk standar dan membatasi teknologi yang berdampak negatif pada lingkungan dan masyarakat. Misalnya, teknologi yang berdampak negatif pada lingkungan dan masyarakat seperti teknologi yang berdampak negatif pada lingkungan dan masyarakat.



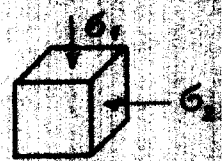
W. M. L. de Bruin, J. G. K. van der Pol  
and J. H. van der Pol  
Delft University of Technology  
Department of Mathematics  
Mathematical Institute  
Computing Laboratory  
Computer Center  
Delft, The Netherlands  
Received 17/2/71.

Section 2. Stress tensor for isotropic and anisotropic media

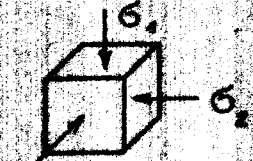
$$\text{Isotropic law } \sigma_{ij} + \sigma_{ji} = \text{const.} \quad \sigma_{ii} = \text{const.}$$



a)



b)



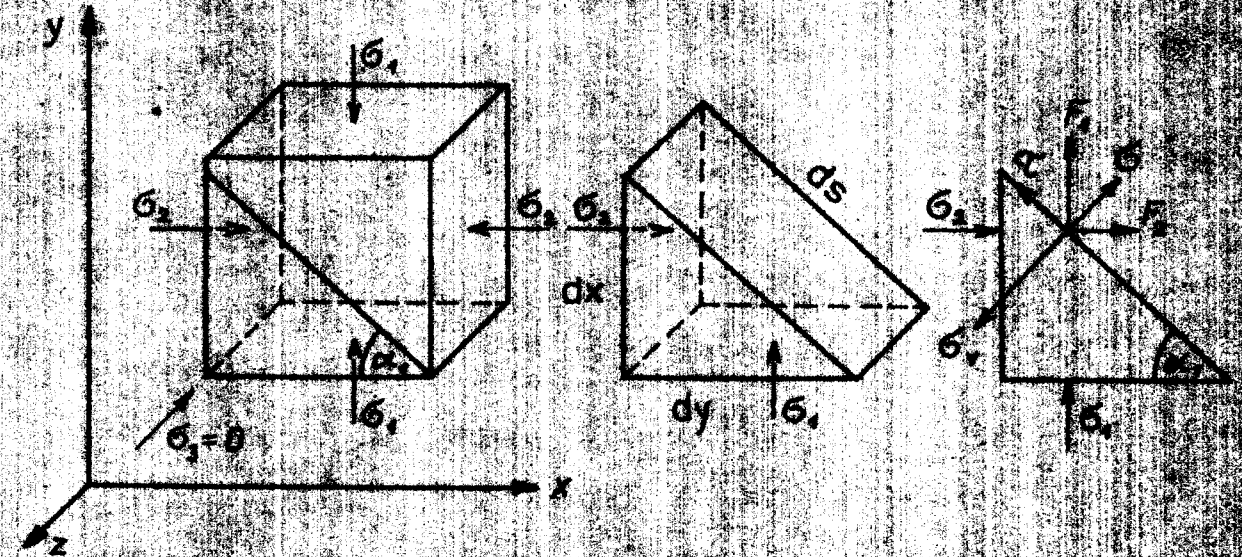
c)

Ques. 2. Possible stress states

- a) symmetric state    $\sigma_{ij} = \sigma_{ji}, \sigma_{ii} = \sigma_{ij}$
- b) skew symmetric state    $\sigma_{ij} = -\sigma_{ji}, \sigma_{ii} = 0$
- c) antisymmetric state    $\sigma_{ij} = -\sigma_{ji}, \sigma_{ii} \neq 0$

Section 3. Representation of stress tensor in a coordinate system

Orthogonal coordinate system



Ques. 3. Definition of the stress tensor in a coordinate system of polarisation

Problem 3. Find the stress tensor in polar coordinates

$$\tau = G_1$$

$$G_2 = 0$$

$$G_3 = -G_2$$

~~Изображение вида на плоскость координат~~

$$G_1 \cos \alpha_1 + G_2 \cos \alpha_2$$

$$G_m = G_1 \cos \alpha_1 + G_2 \cos \alpha_2 + G_1 \sin \alpha_1 \cdot \sin$$

$$\alpha_2 = G_1 \cos \alpha_1$$

$$G_2 = G_2 \cos \alpha_2$$

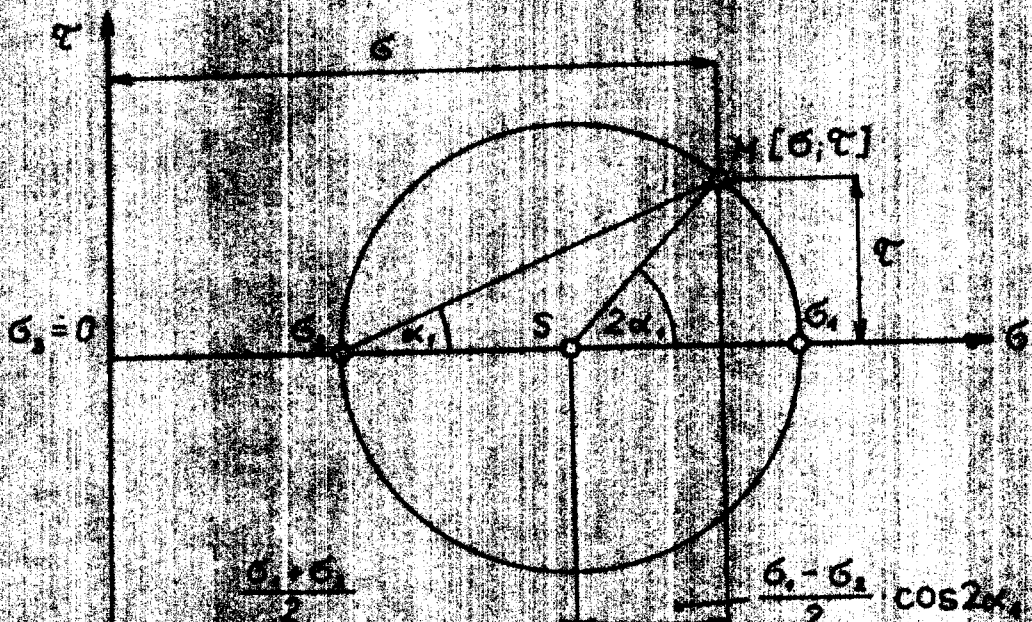
$$G = G_1 \cos \alpha_1 + G_2 \cos \alpha_2$$

$$T = \frac{G_1 - G_2}{2} \cdot \sin 2\alpha_1 \quad (1)$$

$$G_m = \frac{G_1 + G_2}{2} + \frac{G_1 - G_2}{2} \cos 2\alpha_1 \quad (2)$$

~~Изображение (1) и (2) вида на плоскость координат для точки M~~

~~Изображение~~



• Przedmiotem badania jest zjawisko krusznic i zmiany

wolnost

$$\begin{aligned} & \text{wolnost } \theta = 0^{\circ}, \quad \text{wol} \cdot G = G_1 = \text{wol} \cdot T = 0 \\ & \text{wol} \cdot G_1 = \text{wol} \cdot \text{zmieniona wolnost}. \\ & \text{wol} \cdot G_2 = \text{wol} \cdot \text{zmieniona wolnost}. \end{aligned}$$

• Wysokość krusznic jest określona przez wzór:  $G = f \cdot \varphi$ , gdzie  $f$  jest konstancją proporcionalności, a  $\varphi$  kątem skośności. Wysokość krusznic jest zatem proporcionalna do kąta skośności. Wysokość krusznic jest zatem proporcionalna do kąta skośności. Wysokość krusznic jest zatem proporcionalna do kąta skośności.

### 3.3. Wysokość krusznic

• Wysokość krusznic jest określona przez wzór:  $G = f \cdot \varphi$ , gdzie  $f$  jest konstancią proporcionalności, a  $\varphi$  kątem skośności. Wysokość krusznic jest zatem proporcionalna do kąta skośności. Wysokość krusznic jest zatem proporcionalna do kąta skośności. Wysokość krusznic jest zatem proporcionalna do kąta skośności.

$$G = f \cdot \varphi \quad (3)$$

• Wysokość krusznic jest określona przez wzór:

• Wysokość krusznic jest określona przez wzór:  $G = f \cdot \varphi + C$

• Wysokość krusznic jest określona przez wzór:

$$G = f \cdot \varphi + C \quad (4)$$

• Wysokość krusznic jest określona przez wzór:

• Wysokość krusznic jest określona przez wzór:

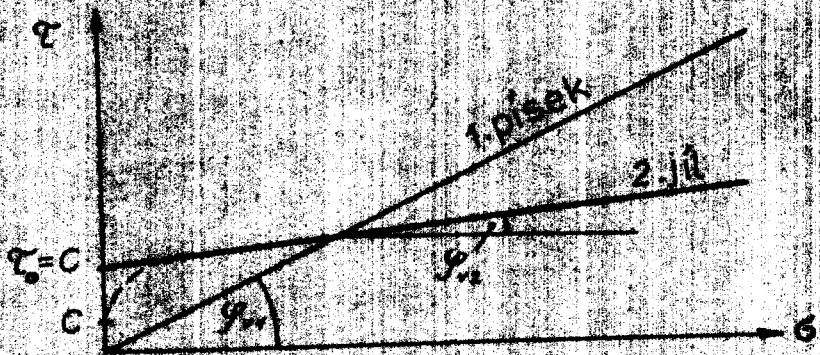


Fig. 5. Projektion ergebnisender werte ( $C$ ) vs ( $t$ )

Diese methode verhindert die Ausbildung von Kurven  $C$  auf  $t$  durch einen zu schnellen Anstieg der Kurve. Dieser Vorgang ist im allgemeinen nicht voraussehbar. Es kann nicht abgeschaut werden, welche zeitlichen Abweichungen zwischen den einzelnen Kurven auftreten. Die Kurven müssen daher mehrere verschiedene Formen aufweisen, um die Kurven zu trennen und somit die einzelnen Kurven leichter nachzuführen.

Die Kurven sind hierbei, wenn die Kurve endlich eingeschlossen ( $\varphi = 0$ )  
mit einem Kreisbogen überdeckt.

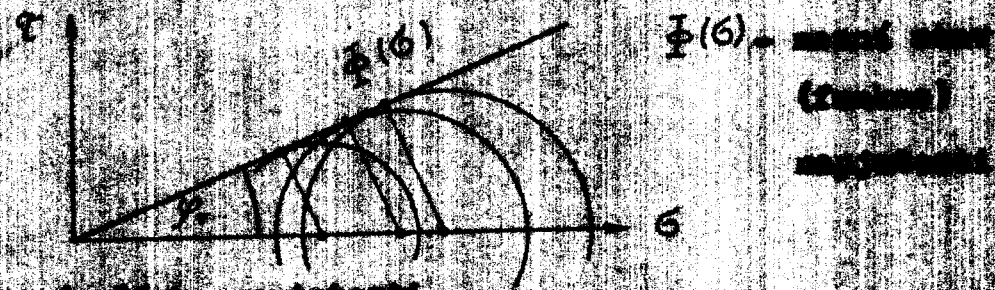
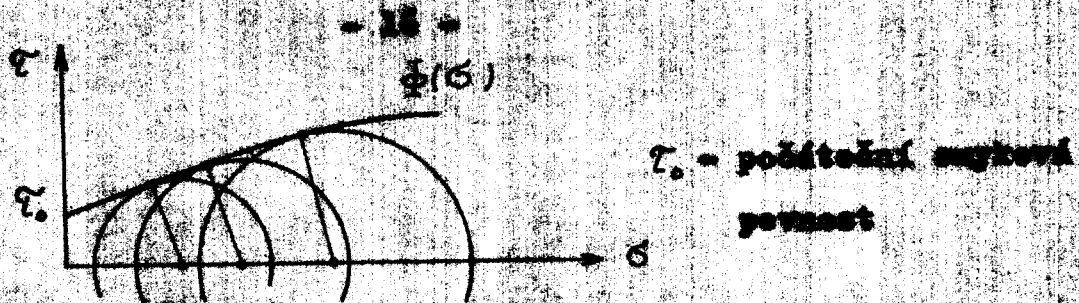


Fig. 6. Projektion ergebnisender Werte

Diese Methode erlaubt, wenn die Kurve beliebig ( $\varphi > 0$ ), mit einem Kreisbogen überdeckt zu werden.



Obr. 7. Můstek mezi vlnou napětí a vlnou

Jenž je použití můstku povolení velikosti počtu napětí možné a poskytuje následující funkce nazvané následující klasifikaci:

Násobkový faktor	Možnosti $\Phi(\gamma)$
Vlna se zastavuje a zastavuje	$> 0,2$
Zastavuje se zpět	$0,5 = 0,25$
Vlna se zpět	$0,25 = 0,1$
Vlna trvá	$< 0,1$

Tab. 1. Klasifikace vln počtu napětí podle možnosti  $\Phi(\gamma)$

### (3) Popis vlny a povolení

Napětí v laboratorních praxech lze rozdělit na dvě skupiny. V první skupině jsou vlny vždy vždy empirické vlny s vlnovou povolení  $\sigma_{\text{vp}}$ , kterou lze definovat empirickim  $\sigma_e$ , objevovaném vztahem  $\sigma_e = \mu \cdot \text{počet napětí} E$ .

Ve druhé skupině jsou vlny vždy vždy vlastní vlny, které mají významový počet napětí, když je mnoho.

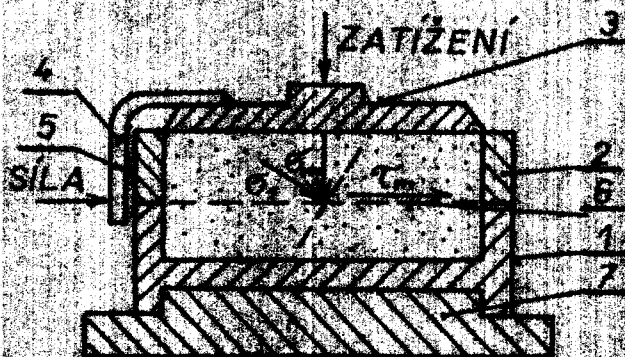
Vlna je vždy významový vlna, která pokračuje po vlastním počtu napětí.

	$G_1 = \frac{1}{2} \rho R^2$
	$G_2 = \frac{1}{2} \rho (R/\rho)^2$
	$G_3 = \frac{1}{2} \rho R^2 (1 - \epsilon)^2$
	$G_4 = \frac{1}{2} \rho R^2 G_K$
	$G_5 = -45 + 25.6$
	$G_6 = -45 + 25.6 G_K$
	$G_7 = \frac{9}{5} \frac{(1-\epsilon)}{\epsilon} H(\epsilon)$
	$G_8 = \frac{1-\epsilon}{2} \frac{H(\epsilon)}{\epsilon^2}$
	$G_9 = \frac{1}{2} \epsilon (1-\epsilon) H(\epsilon)$



### 1.2.1. Základní principy

Principiální základem je využití tlaku v kvapalině. Voda je využívána pro vytvoření tlaku, který je potřebný k udržení vodovodu.



- 1 - nádrž
- 2 - komín
- 3 - vývodka
- 4 - tlakovod
- 5 - vodovod
- 6 - tlakovod
- 7 - podložka

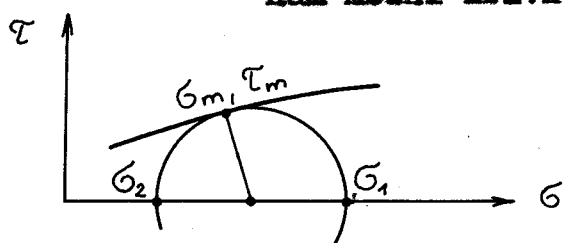
1.3. Shrnutí poznatků a závěry pro řešení úkolu.

Na základě provedeného rozboru lze učinit některé závěry, ze kterých je nutno vycházet při řešení problému pevnostních charakteristik korundových prášků.

1. Zjištování smykové pevnosti sypkých materiálů vyžaduje složité měřicí zařízení a je časově velmi zdlouhavé.
2. Při určování tahové pevnosti sypkých materiálů se používají velmi jednoduché měřicí přístroje a je možno stanovit vliv konsolidace na tahovou pevnost a zhutnění těchto materiálů.
3. Pro svoji jednoduchost, malou hmotnost a mobilnost je možné používat přístroje pro měření tahové pevnosti přímo v provozech, čímž se může urychlit zjištování parametrů sypkých materiálů, jež vstupují do výrobního procesu.

Schematicky je Jeníkého snyková krabice znázorněna na obrázku 9. Na víčko se přikládají závaží, která v sypké hmotě vyvouzí napětí  $\sigma$ . Na svorku 4 se vyvozuje síla v rovině rozhraní misky a kroužku, která v sypkém materiálu vyvolává tečné napětí  $T$ .

Pokusy se provádí pro různá závaží na víčku (odpovídající různým  $\sigma$ ) a měří se síla na svorce (odpovídající  $T$ ) potřebná k usmyknutí vzorku. Výsledky se vynáší do grafu a představují nám mezní křivku.

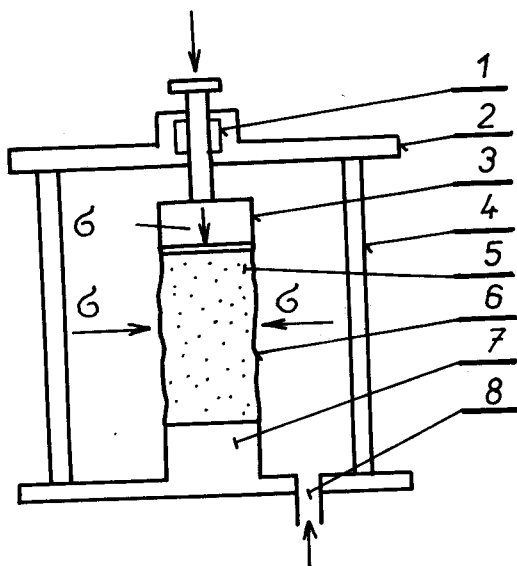


Obr. 10. Mezní křivka stanovená na Jeníkého snykovém přístroji

Každý bod určuje jednu mezní napjatost  $G_m, T_m$ . Odpovídající Mohreuvu kružnici pro určitou mezní napjatost sestrojíme tak, že se sestrojí kružnice, která je tečná k mezní křivce a její střed leží na ose  $\sigma$ . Je patrné, že k sestrojení mezní Mohrovy kružnice stačí jeden bod a mezní křivka.

#### B. Trojosý přístroj

Trojosý snykový přístroj je dosti složité zařízení a používá se převážně při určování pevnostních charakteristik zemin.



Obr. 11. Trojosý smykový přístroj

- 1 - těsnění
- 2 - víko
- 3 - píst
- 4 - skleněný válec
- 5 - vzorek
- 6 - gumová membrána
- 7 - podstava
- 8 - plášťový hydrostatický tlak

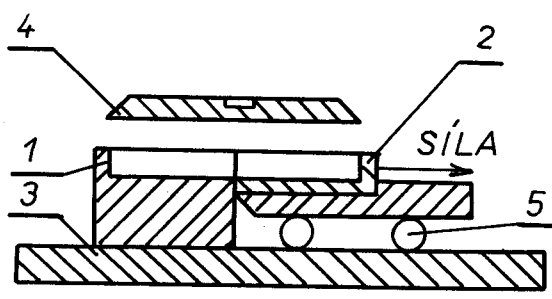
Vzorek v gumové membráně je umístěn ve skleněném válci 4, ve kterém lze nastavovat požadovaný tlak kapaliny. Tlak kapaliny vyvozuje na sypkou hmotu přes gumovou membránu hydrostatický tlak, který je kolmý k povrchu, a proto vyvozuje hlavní napětí, které označujeme  $\sigma_r$  (radiální). Píst působí kolmo na vzorek, a proto též vyvozuje hlavní napětí, které označujeme  $\sigma_a$  (axiální).

Platí že:  $\sigma_1 = \sigma_a$ ;  $\sigma_2 = \sigma_3 = \sigma_r$

Pro různé kombinace  $\sigma_a$ ,  $\sigma_r$  můžeme sestrojit mezní Mohrovy kružnice. Ukazuje se, že ke všem těmto mezním kružnicím můžeme sestrojit dvě obálky. Jedna obálka je v oblasti kladných hodnot  $\sigma$  a druhá v oblasti záporných hodnot  $\sigma$ , přičemž obálky jsou symetrické podle osy  $\sigma$ . V obecném případě tyto obálky jsou křivkami, vytínajícími na ose  $\sigma$  určitý úsek a mírně vypouklé směrem nahoru. Pro nesoudržné, dobře tekoucí materiály bývají tyto obálky přímkové a procházejí počátkem.

### 1.2.2. Měření tahové pevnosti

Tahová výpevnost má tu výhodu, že její stanovení nevyžaduje příliš náročné zařízení pro měření a lze přitom podle ní stanovit vliv konsolidace. Přehledné referáty o této měřící technice uvádí Sutton, Schubert a v Japonsku Shinohara a Tanaka / 6 /. Většina přístrojů pro měření tahové pevnosti vychází z přístroje sestrojeného Ashtonem, Farteyem a Valentinem. Jejich systém měření tahové síly byl zjednodušen Schubertem a Wibowem.



- 1 - pevná polovina misky
- 2 - pohyblivá polovina misky
- 3 - základová deska
- 4 - konsolidační víčko
- 5 - kuličky

Obr. 12. Schema translačního tahového přístroje

Další konstrukční zdokonalení je popsáno v československém autorském osvědčení 169227 / 6 /. Pokusy se provádí pro různá závaží na víčku (odpovídající různým  $G_k$ ). Po defineované konsolidační době se závaží z víčka odstraní a určuje se síla potřebná k přetržení vzorku v trhací ploše. Trhací síla odpovídá tahové napětí (pevnost)  $G_T$ .

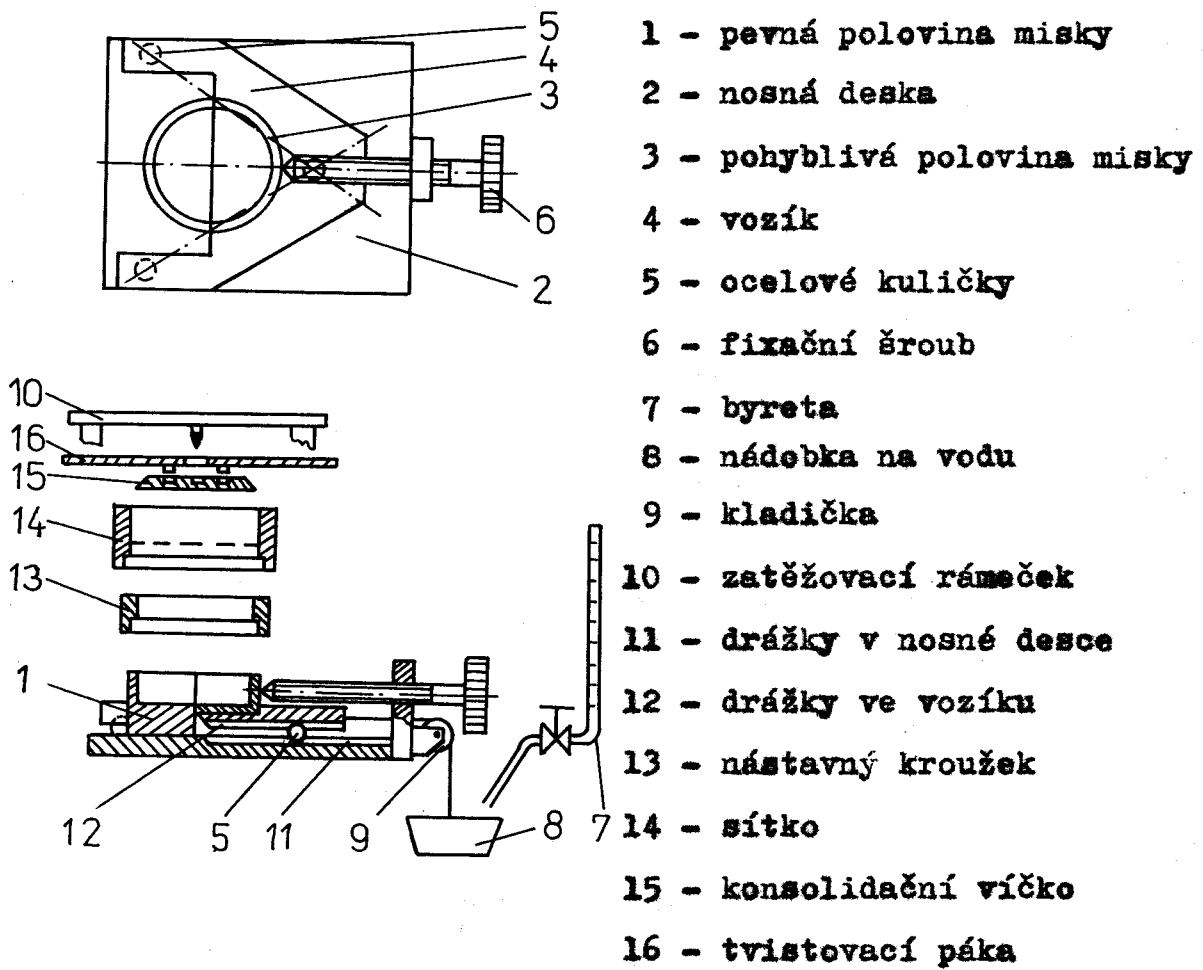
Výsledky se vynáší do grafu a představují nám výsledek tahového napětí na konsolidačním napětí. Při měření je možno sledovat i zhutnění vzorku pro různá konsolidační napětí.

## 2. TRANSLAČNÍ PŘÍSTROJ PRO MĚŘENÍ TAHOVÝCH PEVNOSTÍ PRÁŠKŮ

### 2. 1. Popis přístroje

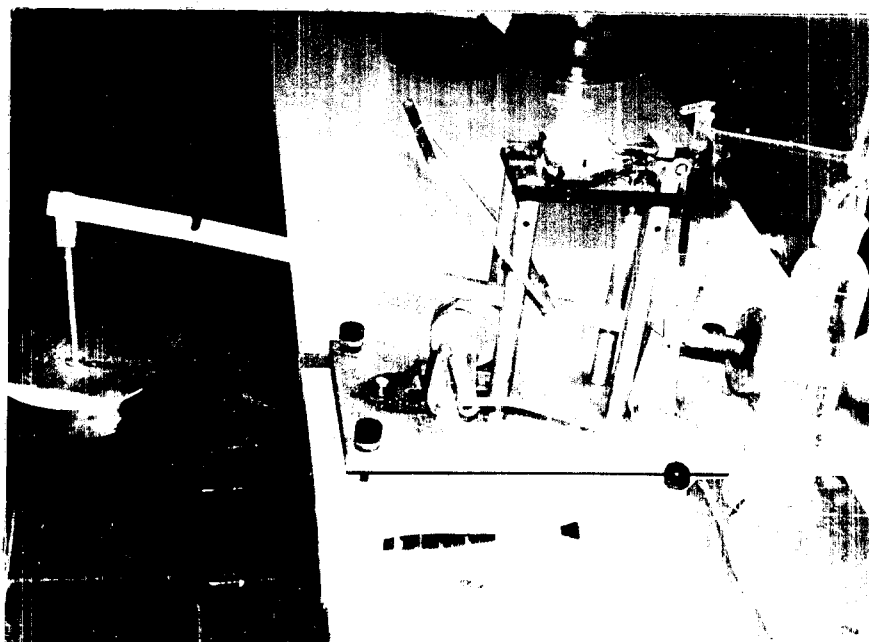
V počáteční fázi měření tahové pevnosti korundových prášků byl použit přístroj pro měření tahové pevnosti prášků, který byl vyvinut ve Výzkumném ústavu základní chemické techniky ČSAV v Praze /6/. Kromě tahové pevnosti na tomto přístroji je možno zjišťovat objemovou hmotnost prášků. Jedná se o translaciční přístroj ve kterém se trhá prášková tableta.

### 2. 1. 1. Konstrukční provedení přístroje



Obr. 13. Schéma přístroje tahové pevnosti sypkých materiálů

Zařízení je schematicky znázorněno na obrázku 13. Miska má průměr 50 mm, výšku 5 mm, má zdrsněné vnitřní stěny a je vertikálně rozdělena na dvě poloviny. Jedna polovina je pevná (1) a je přichycena k nosné desce (2). Druhá polovina (3) je pohyblivá a je přichycena k vozíku (4). Vozík se pohybuje po třech kuličkách, (5) vedených v drážkách v nosné desce i vozíku. Vozík lze zafixovat šroubem (6) tak, že obě poloviny misky tvoří celek. Tahová síla se vyvazuje přikapáváním vody z byrety (7) do lehké nádobky (8), jež je zavěšena přes kladičku (9) k vozíku (4).



Obr. 14. Celkový pohled na přístroj tahové pevnosti

Na obrázku 14 je fotografie celého zařízení. Je vidět způsob zatěžování konsolidační silou pomocí rámečku (10), páky a závaží. Rámeček je na fotografii odklopený. Páka je opřena o excentr s klikou, pomocí níž lze postupně zvyšovat konsolidační zatížení na vzorek.

Z praktických skúšeností vyplynuly některé poznatky pro konstrukci přístroje. Předně je nutno sestrojit dostatečně tuhý vozík, aby se nedеformoval při zatížení konsolidační silou. K peruše konsolidovaného vzorku dojde při vzdálení obou polovin misk od sebe o méně než jeden mikrometr. Je tedy nebezpečí, že by se mohl vozík při odlehčení vzorku po deformaci při zatěžování vrátit do původní polohy a vzorek by se mohl částečně narušit, takže by se naměřily nižší hodnoty. Požadavek tuhosti však zvyšuje hmotnost vozíku, a tím se snižuje citlivost měření. Je proto nutné se snažit o co největší tuhost při co nejnižší hmotnosti.

Ze stejných důvodů je nutno zabezpečit dostatečnou stabilitu vozíku a zejména dbát na to, aby nedošlo ani k nepatrnému naklopení vozíku při zatěžování konsolidační silou. To je zabezpečeno tvarem vozíku a rozmištěním opěrných kuliček (5), obrázek 1.

Další důležitému zásadou, kterou je nutno dodržet je, že se vozík musí vzdalovat od pevné části mísky naprostě kolmo k půlící rovině. Tento požadavek je u popsaného přístroje zabezpečen drážkami (10) v nosné desce i drážkami (12) ve vozíku. Řešení drážek podle popsaného návodu je však výrobě značně náročné neboť drážky v základně i vozíku musí být naprostě rovnoběžné a velmi dobře opracované tak, aby v drážkách nebyly žádné nerovnosti, což si vyžaduje ruční lopování. Dále je nutno zabezpečit, aby základna i vozík měly dotyk s každou kuličkou ve dvou bedech. Je samozřejmé, že při měření je nutno dbát mimořádně pečlivosti, aby částečky práškového podílu nevznikaly do ležiska kladičky a aby se nenanesaly na kuličky a drážky, neboť sebemenší zadřhnutí kuličky či kladičky znichodnotí měření.

### 2.1.2. Příprava vzorku

Úspěch celého měření do značné míry závisí na přípravné vzorku. Zejména je nutno dbát na to, aby byl sypký materiál v misce stejnorodý, t.j. aby nebyla místa s větší hustotou a místa s menší hustotou. To by pak způsobovalo, že některá místa v plášti roztržení by přenášela větší tahovou sílu a některá menší a získaly by se nepreprodukčelné výsledky. Jeden způsob, jak dopomoci přípravě stejnorodého vzorku je tzv. "tvistování". Spočívá v tom, že se zatížené víčko (s hladkým povrchem) několikrát protáčí po povrchu vzorku doprava a doleva o určitý úhel, např.  $45^\circ$  nebo  $90^\circ$ . Tímto postupem se samozřejmě zvýší zhuťnění vzorku, takže vzorek pak vykazuje vyšší tahovou pevnost než při stejně konsolidační síle bez tvistování. Twistováním se však na vzorek přenáší ne zcela definované síly, takže prozatím názor na tvistování při trhacích zkouškách není zcela jednotný.

### 2.1.3. Metodika měření

Stavěcími šrouby, které jsou vidět na fotografii, se celý přístroj nakloní tak, aby hmotnost prázdné nádobky neuvedla vozík do pohybu a aby bylo zapotřebí přikapat velmi malé množství vody (např. 2 ml), aby se vozík uvedl do pohybu. Tento nulevý chod přístroje se stanoví před každým měřením.

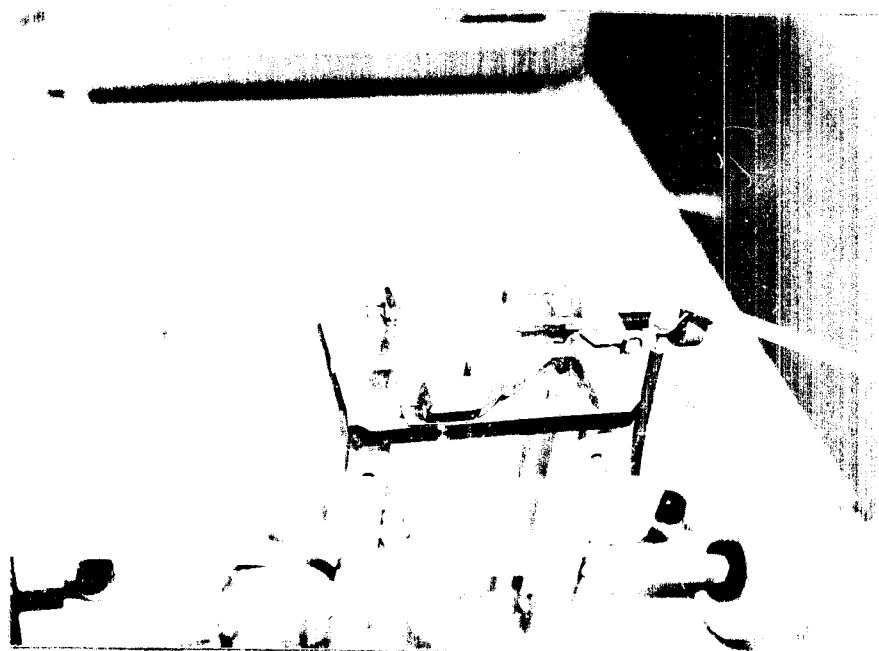
Při vlastním měření se vozík (4) nejprve zafixuje šroubem (6). Na misku se nasadí nástavný kroužek (13) a na něj sítko (14) s pláštěm s otvory asi 0,5 mm. Prostor pod sítkem se pak vyplní tak, že sypký materiál se nanáší na sítko a roztírá se.

Sítka se pak odstraní a materiál se zarovná ostrou rovnou hranou s horním okrajem nástavného kroužku a na hladinu se přileží konsolidační víčko (15), které má hladký povrch. Na víčko se přileží tvistovací páka (16) a hrot rámečku (10) a pákovým mechanismem se na vyvedí požadovaná konsolidační síla. Twistovací páku se pak nekolikrát protáčí víčko po povrchu doprava a doleva o definovaný úhel.

V případě, že se zkoumá vliv časové konsolidace, nechá se konsolidační síla působit určitou stanovenou dobu, např. 1 h, 24 h apod. Nesleduje-li se vliv časové konsolidace, ponechá se konsolidační síla působit definovanou krátkou dobu, např. 1 min nebo 5 min. Po konsolidaci, buď normální nebo časové, se odstraní konsolidační síla, tvistovací páka, víčko i nástavný kroužek a hladina se zarovná ostrou rovnou hranou s okrajem misky.

Fixační šroub se uvolní a z byretu se začne přikapávat do nádobky voda. Jakmile se vzorek přetrhne, uzavře se kohoutek u byretu a tahová pevnost se určí z plechy roztržení (u popisovaného přístroje  $2,5 \text{ cm}^2$ ) a hmotnosti vody v nádobce, od níž se odečte množství vody spotřebované při určování nulového chodu přístroje. Důležitou součástí měření je určení objemové hmotnosti vzorku po konsolidaci. Vzhledem k tomu, že nelze vážit celý vzorek, určuje se objemová hmotnost pouze té části vzorku, jež je na vozíku. Váží se vzorek po roztržení i s vozíkem a hmotnost vozíku se pak odečte.

Při vhodném měření bývá lom vzorku dostatečně rovný (obr.15), takže stanovení objemové hmotnosti z poloviny vzorku je dostatečně přesné. Je-li lom vykousnutý z jedné či druhé poloviny, známá to obvykle, že vzorek nebyl vhodně připraven.



Obr. 15. Pohled na roztržený vzorek

Při určování konsolidační síly je nutno určit celou její hodnotu, tj. včetně hmotnosti víčka, tvistovací páky (provádí-li se tvistování) a poloviny hmotnosti vzorku, představující střední hodnotu hmotností po výšce.

Při fixaci vozíku je nutno šroub dotáhnout velmi lehce, tak, aby vozík neměl vůli, ale aby se pohyblivá část misky ani trochu nezdeformovala. Kdyby k deformaci došlo, vzorek by se mohl částečně narušit při uvolňování fixace.

Při zarovaňávání hladiny s okrajem misky po konsolidaci je nutno dbát na to, aby se seřezávala hladina vyšší než 1 mm a nižší než 3 mm. V případě, že se nedosáhne těchto mezí, je nutno volit nástavný kroužek o jiné výšce. Před delší přestávkou v měření je nutno kuličky i drážky konzervovat olejem, aby nedošlo ke korozii a před měřením je nutno je pečlivě vyčistit rozpouštědlem.

## 2.2. Ověření použitelnosti přístroje pro prášky $\text{Al}_2\text{O}_3$

Funkce přístroje byla ověřena na dvou druzích korundových prášků  $\text{Al}_2\text{O}_3$  s různými měrnými povrchy. Prášky byly označeny U 17 a H 37. Pro každý prášek byla provedena série měření tahové pevnosti a objemové hmotnosti při definované konsolidaci.

Konsolidační tlak byl pro oba prášky stejný a jeho hodnotou byla  $\sigma_k = 0,125 \text{ MPa}$ .

Naměřené hodnoty byly shrnuty do tabulek 4. a 5. a byly statisticky vyhodnoceny (tab. 3.). Jako vhodné parametry byly vybrány tyto charakteristiky: výběrový průměr  $\bar{x}$ , výběrový rozptyl  $s^2$ , směrodatná odchylka  $s$ , interval spolehlivosti  $\mu$  (konfidenční int.)

Vzorek	U 17		H 37	
Měrná veličina	$\sigma_r / \text{Pa} /$	$\rho / \text{kg m}^{-3} /$	$\sigma_r / \text{Pa} /$	$\rho / \text{kg m}^{-3} /$
n	10	10	10	10
$\bar{x}$	19,87	444,82	151,69	552,15
$s^2$	104,73	2,20	725,39	10,93
$s$	10,23	1,48	26,93	3,306
$\mu$	12,55-27,19	443,76-445,88	132,43-170,95	549,78-554,52

Tab. 3. Vypočtené statistické charakteristiky tahové pevnosti a objemové hmotnosti korundových prášků U 17 a H 37.

Z naměřených a vypočtených hodnot je patrný značný rozptyl tahových pevností při jednotlivých měřeních, kdežto objemová hmotnost byla měřena s velmi malými rozdíly a její hodnota je dostatečně přesná. Pro měření objemové hmotnosti je přístroj velmi vhodný, ale je nevhodný pro měření tahové pevnosti korund. prášků.

čís. měr.	$m_o/\text{g}/$	$m_k/\text{gf}$	$\Delta m/\text{g}/$	$G_T/\text{Pa}/$	$m_{1/2T}$	$\rho_{ok}/\text{kg m}^{-3}/$
1	4,3200	4,9900	0,6700	26,80	2,1919	446,60
2	5,3700	5,7015	0,3315	13,26	2,1782	443,90
3	5,6100	5,9450	0,2350	9,40	2,1852	445,30
4	5,0981	5,3015	0,2034	8,14	2,1904	446,40
5	3,5745	3,9223	0,3478	13,91	2,1691	442,10
6	3,5633	3,8660	0,3027	12,10	2,1757	443,50
7	3,5736	4,1062	0,5326	20,90	2,1893	446,20
8	3,5632	4,1953	0,6321	25,28	2,1836	445,10
9	3,5606	4,5496	0,9890	39,56	2,1859	445,50
10	3,5667	4,3003	0,7336	29,34	2,1765	443,60

Tab. 4. Tahová pevnost a objemová hmotnost korundového prášku

U 17. Konsolidační tlak  $G_k=0,125 \text{ MPa}$ , doba konsol.  $tk=3 \text{ min.}$

čís. měr.	$m_o/\text{g}/$	$m_k/\text{g}/$	$\Delta m/\text{g}/$	$G_T/\text{Pa}/$	$m_{1/2T}$	$\rho_{ok}/\frac{\text{kg}}{\text{m}^3}/$
1	3,5612	7,0453	3,4841	139,36	2,7037	551,07
2	3,5612	7,5950	4,0338	161,35	2,7102	552,40
3	3,5610	6,9066	3,3456	133,83	2,7280	556,03
4	3,5624	8,0000	4,4376	177,50	2,7258	555,58
5	3,5650	7,7405	4,1755	167,02	2,8169	552,09
6	3,5625	7,4875	3,9250	157,00	2,7121	552,80
7	3,5625	8,4612	4,8987	195,95	2,6992	550,20
8	3,5675	6,1364	2,5689	102,76	2,7201	544,40
9	3,5640	7,4673	3,9033	156,13	2,7099	552,30
10	3,5667	6,7156	3,1489	125,96	2,7212	554,60

Tab. 5. Tahová pevnost a objemová hmotnost korund. prášku H 37.

Konsolidační tlak  $G_k=0,125 \text{ MPa}$ , doba konsolidace  $tk=3 \text{ min.}$

### 3.3. Shrnutí poznatků a výsledků

Při ověřování použitelnosti přístroje pro měření korundových prášků  $\alpha\text{-Al}_2\text{O}_3$  se dospělo k těmto poznatkům :

- a) Klínové drážky se v průběhu měření obrušují značně abrazivními korundovými prášky, což způsobuje zadrhávání vodicích kuliček. Sebe menší zadrhnutí kuličky výsledek měření zkreslí nebo zcela znehodnotí, což vede k nereprodukovatelným výsledkům. Zabránit vnikání korundového prášku do klínových drážek však není možné, takže je nutné po každém jednotlivém měření klínové drážky i kuličky pečlivě vyčistit. Tím se značně prodlužuje čas měření.
- b) Nastavení nulového chodu je velmi pracné a nepřesné. Při opakovém nastavování nulového chodu dochází ke značnému rozptylu hodnot nulovacích hmotností. Hlavní příčinou je rychle postupující abraze klínových drážek a dále nedefinované kohezní síly mezi poměrně masivními polovinami mísky. Přesné nastavení nulového chodu do značné míry evlivňuje výsledek měření.
- c) Minimální citlivost přístroje se udává 50 Pa /6/. Při měření vzorku U 17 však byly naměřeny hodnoty značně pod touto hranicí, což zpechybňuje spolehlivost naměřených hodnot.
- d) Z uvedených příčin se přístroj pro měření tahové pevnosti korundových prášků jeví jako nevhodný.

Měření objemové hmotnosti je na tomto přístroji velmi spolehlivé a vede ke značně přesným a reprodukovatelným výsledkům.

### 3. DOKONČENÍ VÝKYVNÉHO PŘÍSTROJE PRO MĚŘENÍ TAHOVÝCH PEVNOSTÍ PRAŠKŮ

#### 3.1. Modifikovaná konstrukce přístroje

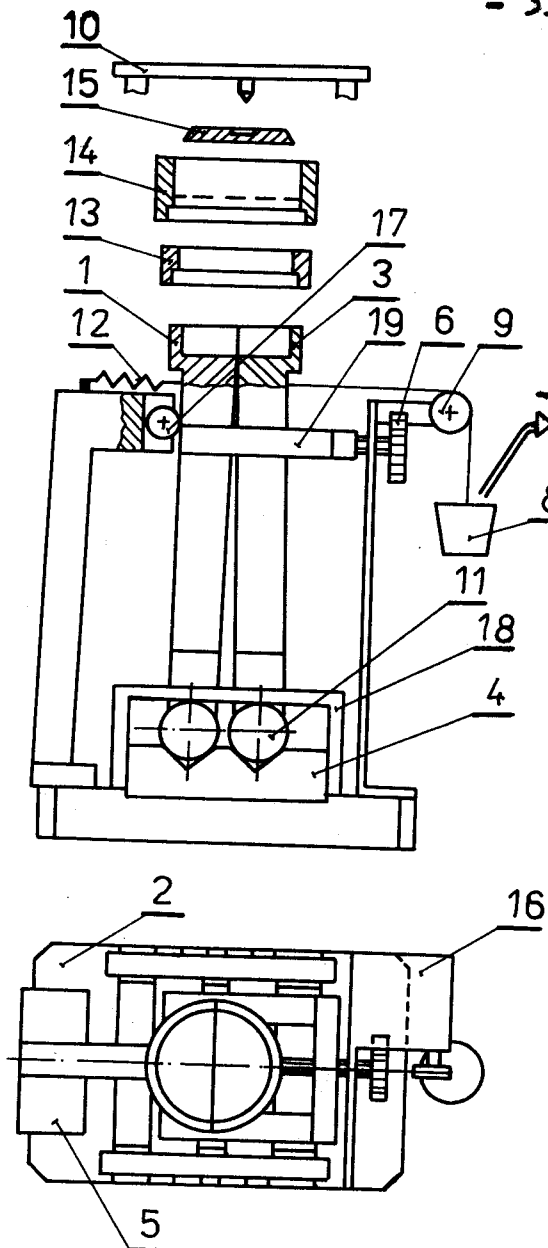
Ve druhé fázi měření tahových pevností korundových prášků byl konstrukčně dokončen a ověřen přístroj pro měření tahových pevností prášků, jež byl koncepcně vyvinut a konstrukčně rozpracován ve Výzkumném ústavu základů chemické techniky, ČSAV v Praze. Dokončen a ověřen byl tento přístroj na Katedře sklářství a keramiky VŠST v Liberci.

Jedná se o přístroj s výkyvnou polovinou misky, ve které se trhá prášková tabletka.

##### 3.1.1. Popis přístroje a metodika měření

Zařízení je schematicky znázorněno na obrázku 16. Miska má průměr 50 mm, výšku 5 mm, má zdrsněné vnitřní stěny a je vertikálně rozdělena na dvě poloviny. Obě poloviny misky vybíhají v ramena, která jsou pomocí čepů zachycena ve valivých kuličkových ložiskách (11). Je tedy možné otáčet oběma polovinami misky. Jedna polovina misky je však přichycena pružinou k opěrnému úhelníku (5), takže tvoří pevnou část misky (1). Styk této poloviny misky s opěrným úhelníkem je realizován pomocí kladičky (17), Ta umožňuje případný vertikální posuv poloviny misky při deformaci ramena misky, působí-li zatěžovací konsolidační síla.

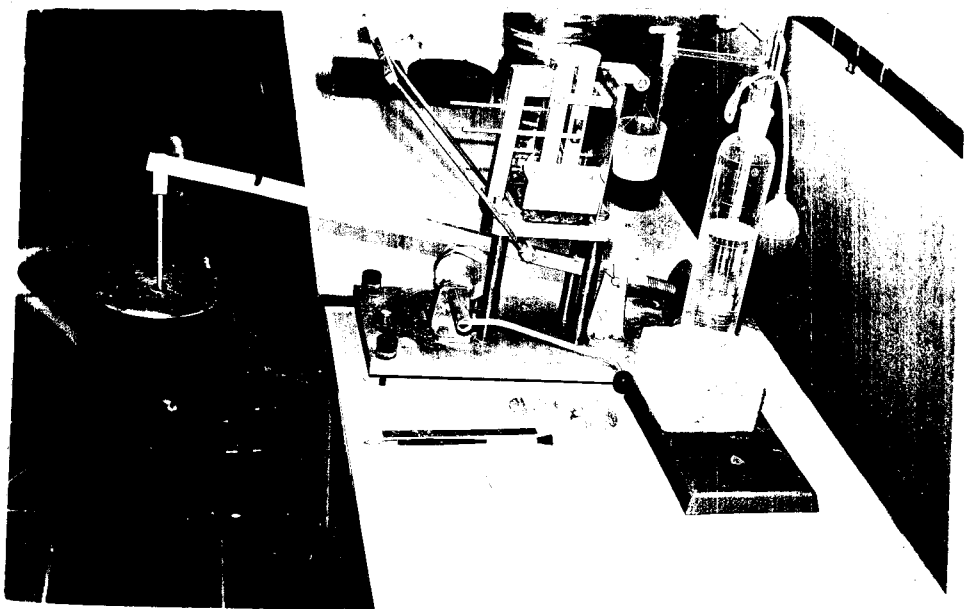
Je to velmi důležité proto, aby při případné deformaci ramen polovin misky docházelo ke stejnemu vertikálnímu posuvu polovin.



- 1 - pevná polovina misky
- 2 - nosná deska
- 3 - otočná polovina misky
- 4 - nosná deska ložisek
- 5 - fixační úhelník
- 6 - fixační šroub
- 7 - byreta
- 8 - nádobka na vodu
- 9 - zatěžovací kladička
- 10 - zatěžovací rámeček
- 11 - kuličková ložiska
- 12 - pružina
- 13 - nástavný kroužek
- 14 - sítko
- 15 - konsolidační víčko
- 16 - držák zatěžovací kladičky
- 17 - opěrná kladička
- 18 - držák ložisek
- 19 - úhelník

Obr. 16. Schéma přístroje pro měření tahové pevnosti sypkých materiálů

V případě různých posuvů polovin misky ve vertikálním směru by mohlo dojít k porušení vzorku v trhací ploše a tím ke zkreslení nebo znehodnocení celého měření. Druhá polovina misky (3) je otočná a je spojena se zatěžovací nádobkou (8). Otočnou polovinu misky lze zafixovat šroubem (6) tak, že obě poloviny misky tvoří jeden celek. Tahová síla se vyvazuje přikapáváním vody z byrety (7) do zatěžovací nádobky, jež je zavřena přes kladičku (9) k otočné polovině misky.



Obr. 17. Celkový pohled na přístroj tahové pevnosti

Na obrázku 17 je fotografie celého zařízení. Způsob zatěžování je shodný s translačním přístrojem tahové pevnosti, který byl popsán v kapitole 2.

Důležitou zásadou, kterou je nutné dodržet je, že se pohyblivá polovina misky musí vzdalovat od pevné části misky naprostě kolmo k půlící rovině. Tento požadavek je u popsaného přístroje uskutečněn uložením ramen polovin misky pomocí čepů ve valivých kuličkových ložisek, která jsou přichycena k nosné desce ložisek(4).

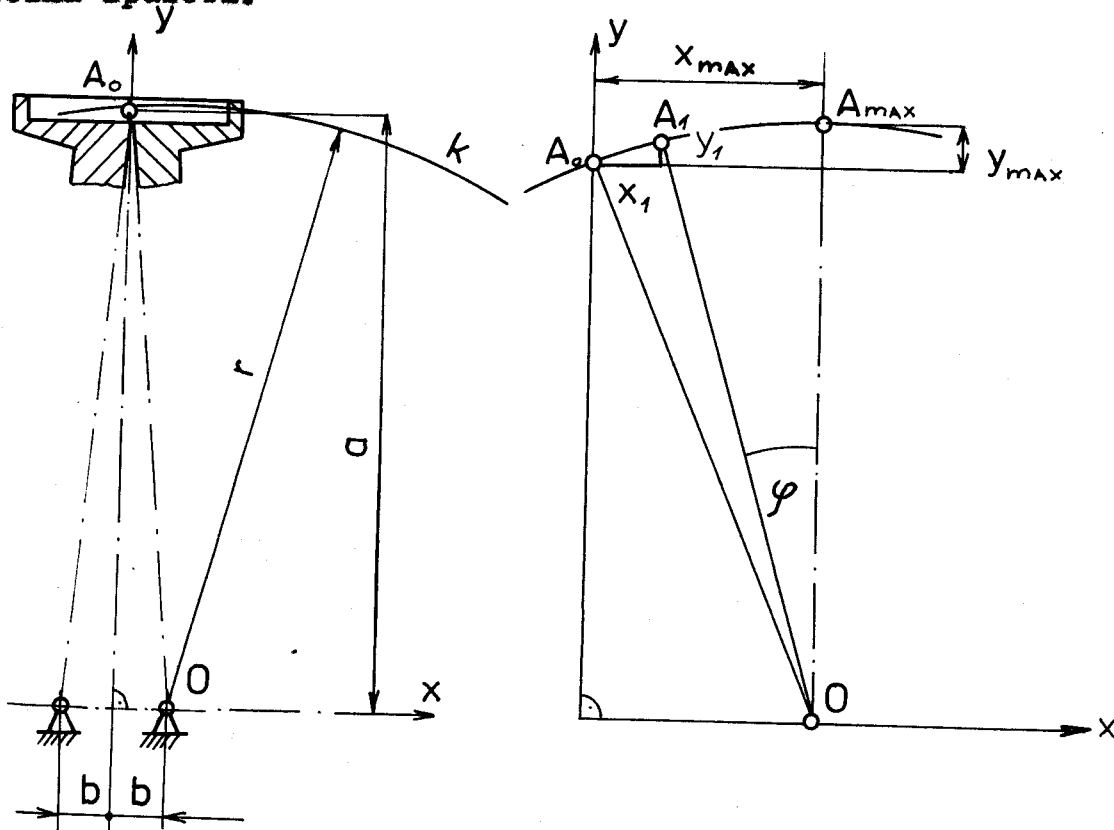
Je samozřejmé, že při měření je nutno dbát mimořádně pečlivě na to, aby částečky práškového podílu nevnikaly do valivých kuličkových ložisek a ložiska zatěževací kladičky, neboť jejich sebemenší zadrhnutí změhodnotí měření.

Příprava vzorku a metodika měření je shodná jako u translačního přístroje a je popsána v kapitole 2.

### 3.1.2. Rozbor kinematických poměrů

Je nutné provést rozbor kinematických poměrů, neboť nový přístroj není translační a všechny body pohyblivé poloviny misky při pohybu opisují kružnice se středy otáčení, kterými jsou valivá ložiska.

Při rovinném rozkladu trajektorie bodu  $A_0$  dochází současně k posuvu ve směru osy  $x$  i osy  $y$ , tj. v horizontálním i vertikálním směru. V praxi se to projeví tak, že kromě požadovaného normálového napětí působí v trhací ploše i napětí tečné. Proto musíme určit v jakém poměru budou jednotlivá napětí a jakou chybu tečná složka způsobí.



Obr. 18. Kinematika pohybu otočné čelisti

K poruše konsolidovaného vzorku dojde při vzdálení obou polovin misky od sebe o méně než 1 mikrometr /6/,

Z tohoto důvodu budeme vertikální posuv určovat při horizontálním posunutí pohyblivé poloviny misky o 1 mikrometr.

Známé hodnoty:  $a = 161,5 \text{ mm}$

$$b = x_{\max} = 13,5 \text{ mm}$$

$$x_1 = 7 \cdot 10^{-5} \text{ mm}, \quad Y_1 = ?$$

$$r = \sqrt{a^2 + b^2} = \sqrt{161,5^2 + 13,5^2} = 162,06325 \text{ mm}$$

$$Y_{\max} = r - a = 162,06325 - 161,5 = 0,56325 \text{ mm}$$

$$\sin \varphi = \frac{b - x_1}{r} = \frac{13,5 - 0,001}{162,06325} = 8,3294639 \cdot 10^{-2}$$

$$\varphi = 4,7779672^\circ \text{ tj. } \varphi = 4^\circ 46' 41''$$

$$\cos \varphi = \frac{Y_1 + r - Y_{\max}}{r} \Rightarrow Y_1$$

$$Y_1 = r \cdot \cos \varphi - r + Y_{\max} = r (\cos \varphi - 1) + Y_{\max} =$$

$$= 162,06325 \cdot (\cos 4^\circ 46' 41'' - 1) + 0,56325 = 7 \cdot 10^{-5} \text{ mm}$$

$$\frac{x_1}{Y_1} = \frac{10^{-3}}{7 \cdot 10^{-5}} = \frac{100}{7}$$

Výpočtem bylo zjištěno, že při roviném rozkladu pohybu vzniká tečné napětí, které činí 7 % napětí normálového.

### 3.1.3. Tuhost přístroje a rozsah použitelnosti

Z předchozích praktických zkušeností vyplynul poznatek, že konstrukce přístroje musí být dostatečně tuhá. Předně je nutno sestrojit dostatečně tuhá ramena a misky, aby se nedeformovaly při zatížení /6/. Přístroj byl použit při konsolidačních napětích v rozsahu od 0,0025 MPa (čemuž odpovídá závaží 0,1 kg) do 0,225 MPa (závaží 9 kg). Při těchto zatíženích se neprojevovaly žádné deformace a byly získávány vždy reprodukovatelné výsledky jejichž chyba nepřesáhla pro nejnižší i nejvyšší hodnotu konsolidačního napětí 4,34 %.

Přístroj poskytoval spolehlivé údaje při hodnotách tahových pevností nad 40 Pa. Při nižších hodnotách je citlivost přístroje příliš nízká.

### 3.2. Ověření přístroje a jeho aplikace na korundové prášky $\alpha$ - $Al_2O_3$ .

V průběhu měření bylo na modifikovém přístroji proměřeno 14 vzorků korundových prášků. Všechny vzorky mikrozrného korundového prášku  $\alpha$  -  $Al_2O_3$  pocházely z jedné kalcinace, kromě vzorků H 37, H 69, jejichž kalcinace probíhaly za jiných podmínek. Vzorky byly seřazeny podle rostoucích hodnot měrných povrchů a jsou shrnutы v tabulce 6. Hodnoty měrných povrchů a středních velikostí zrna byly stanoveny v dřívějších výzkumech na Katedře sklařství a keramiky v Liberci /11/.

Přístroj byl nejdříve ověřen na třech vzorcích korundových prášků H 37, H 69, U 17, které pocházely z různých kalcinací.

Tab. 6. Měrné povrhy a střední velikosti zrn použitých vzorků

Vzorek	Měrný povrch $S[m^2/g]$	Střední zrno $x_s[\mu m]$	Vzorek	Měrný povrch $S[m^2/g]$	Střední zrno $x_s[\mu m]$
17	5,3	7,9	437	12,4	6,5
2	5,8	7,9	14/IV	12,8	7,7
14/III	6,0		U 17	25,3	9,8
5/IV	6,3	7,1	11	33,3	7,3
H 69	8,6	7	7	57,6	7,3
5/III	9,3		16	70,1	5,7
8	10,5	7,3	1	82,4	

Při měření tahových pevností bylo provedeno z počátku vždy pro každý vzorek 10 měření za stejných podmínek a byl brán průměr naměřených hodnot. Později bylo prováděno jenom 5 měření, neboť se ukázalo, že rozptyl naměřených hodnot nepřevyšoval největší hodnotu rozptylu při 10 měřeních.

V případě, že některé měření vykazovalo větší odchylky, nebylo bráno do průměru a měření se opakovalo. Tím vyloučily ne-správné hodnoty získané např. při poruše vzorku ještě před vlastní trhací zkouškou, zadrhnutí hladíčky apod.

Tvistování nebylo při měření používáno, protože jeho účel není v literatuře prozatím dostatečně objasněn.

Při měření tahové pevnosti vzorků H 37 a H 69 bylo dosaženo spolehlivých reprodukovatelných výsledků.

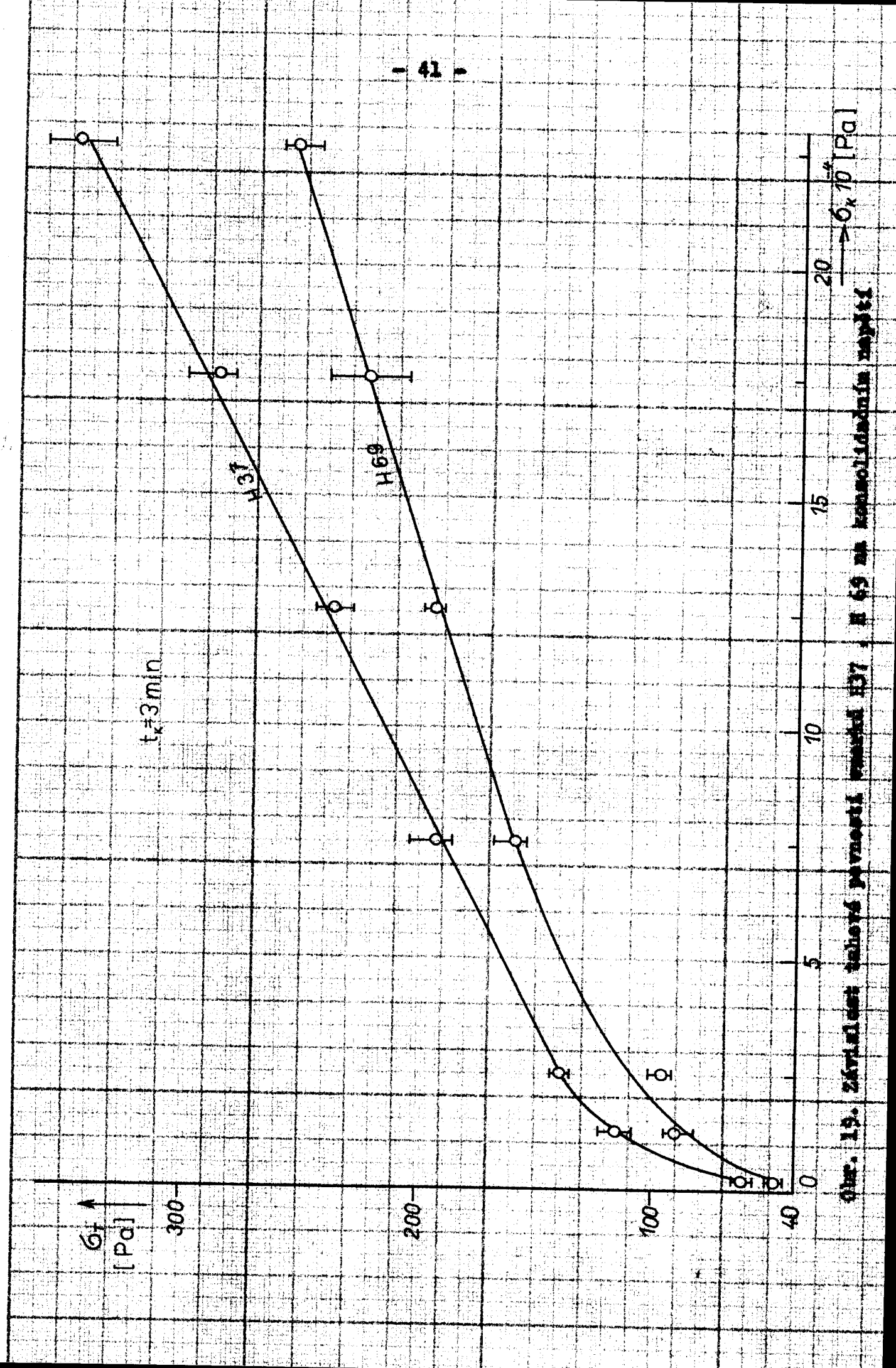
	$G_r / \text{Pa}$				
$G_k$ / MPa	0,225	0,175	0,125	0,075	0,025
m	10	10	10	10	5
$\Sigma$	344,72	284,85	235,77	191,87	138,64
a	10,22	7,31	6,10	5,08	4,76
$s^2$	104,54	53,46	37,21	25,85	22,61
$\mu$	337,41-325,93	279,62-290,08	231,41-240,13	188,24-195,50	136,50-140,78
					107,13-122,77
					58,04-65,30

Tab. 7. Statistiké výhodnocení závislostí tahové pevnosti na konsolidacním napětí vzorku H 37

		$G_r / \text{Pa}$			
$\sigma_x / \text{MPa}$		0,175	0,125	0,075	0,025
n	5	5	5	5	5
$\bar{x}$	253,64	221,83	192,97	158,61	95,85
s	6,20	13,35	3,54	6,51	3,85
$s^2$	38,41	178,32	12,50	42,32	14,80
$\mu$	245,94-261,34	205,25-238,41	188,57-197,37	150,53-166,69	91,07-100,63
					83,48-96,76
					47,16-50,22

Tab. 8. Statistické výhodnocení závislosti tahu na kosolidačním napětí vzorku H 69.

Fig. 19. Změny záporného tlaku v moličidle u H 69 a u H 37



Vzorek U 17 je velmi dobře tekoucí a i při nejvyšším konsolidačním napětí jej nebylo možno měřit neboť jeho tahová pevnost se pohybovala pod nejnižší hranicí citlivosti přístroje.

Současně s měřením tahové pevnosti na modifikovaném přístroji byla měřena na translačním přístroji za stejných podmínek i objemová hmotnost. Naměřené hodnoty byly statisticky zpracovány, shrnuty do tabulek 7 a 8 a graficky znázorněny na obr. 19.

Je patrné, že při měření bylo dosaženo velmi malého rozptylu naměřených hodnot a přístroj se jeví jako vhodný pro měření tahové pevnosti korundových prášků. Současně je zřejmé, že tahová pevnost H 37 je vyšší než u vzorku H 69 a tento vzorek je tekutější a vhodnější pro výrobu korundových trubic.

## 4. EXPERIMENTÁLNÍ ČÁST

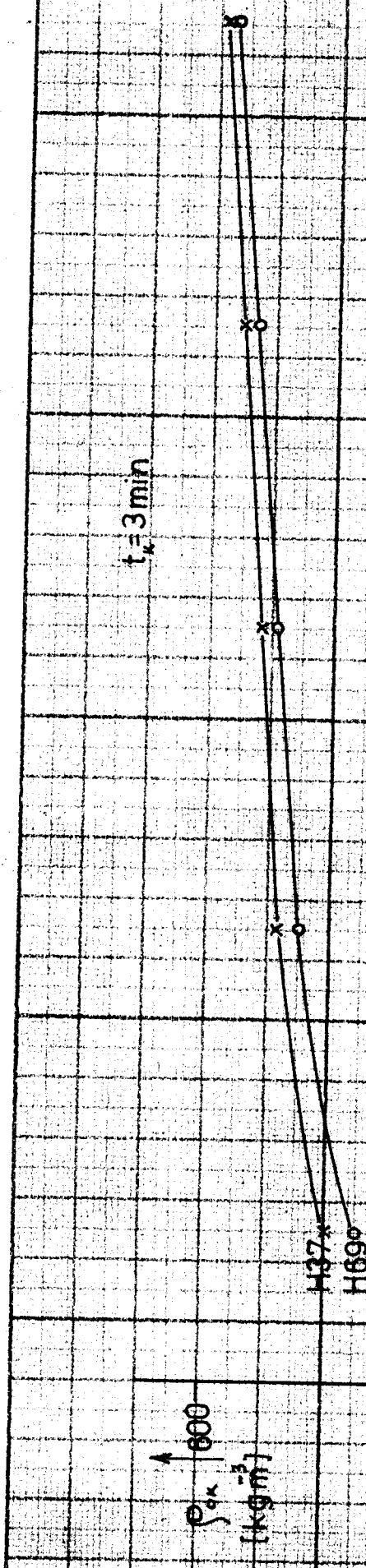
### 4.1. Vliv konsolidace na tahovou pevnost a na měrnou hmotnost

Při ověřování modifikovaného přístroje tahové pevnosti na vzorcích H 37, H 69 (kapitola 3.2.) byl současně určen i vliv konsolidačního napětí na tahovou pevnost. Z naměřených závislostí je patrné, že tahová pevnost se zvětšuje s rostoucím konsolidačním napětím. Zajímavé je to, že při velmi nízkém konsolidačním napětí (asi do 0,025 MPa) je závislost charakterizována obecnou konkávní křivkou, ale při dalším růstu konsolidačního napětí se závislost linearizuje a tahová pevnost je přímo úměrná konsolidaci (obr. 19). Vliv časové konsolidace nebyl určován a vzorek se konsolidoval za stejných podmínek vždy 3 minuty.

Při měření tahové pevnosti vzorků H 37, H 69 byla současně určována i měrná hmotnost. Obdobně jako tahová pevnost, tak i měrná hmotnost roste se stoupajícím konsolidačním napětím. Při velmi nízkých konsolidačních napětích je závislost opět nelineární, ale od jeho určité velikosti se podle naměřených hodnot linearizovala (obr. 20.).

### 4.2. Závislost tahové pevnosti na měrném povrchu a na měrné hmotnosti.

A. Při určování závislosti tahové pevnosti na měrném povrchu bylo proměřeno celkem 13 vzorků. Všechny vzorky, kromě vzorků H 37, H 69 byly z jedné kalcinace.



- 44 -

Abb. 20. Zirkulationskurven des thermodynamischen Prozesses H 37, H 69 und H 80 bei  $t_w = 3 \text{ min}$

0  
0.005  
0.010  
0.015  
0.020  
 $C [\text{MPa}]$

Vzorky byly seřazeny podle rostoucích měrných povrchů, a tak probíhal i sledující proměřování. Měření probíhalo za těchto konstantních podmínek  $\sigma = 0,125 \text{ MPa}$   
 $t_k = 3 \text{ min.}$

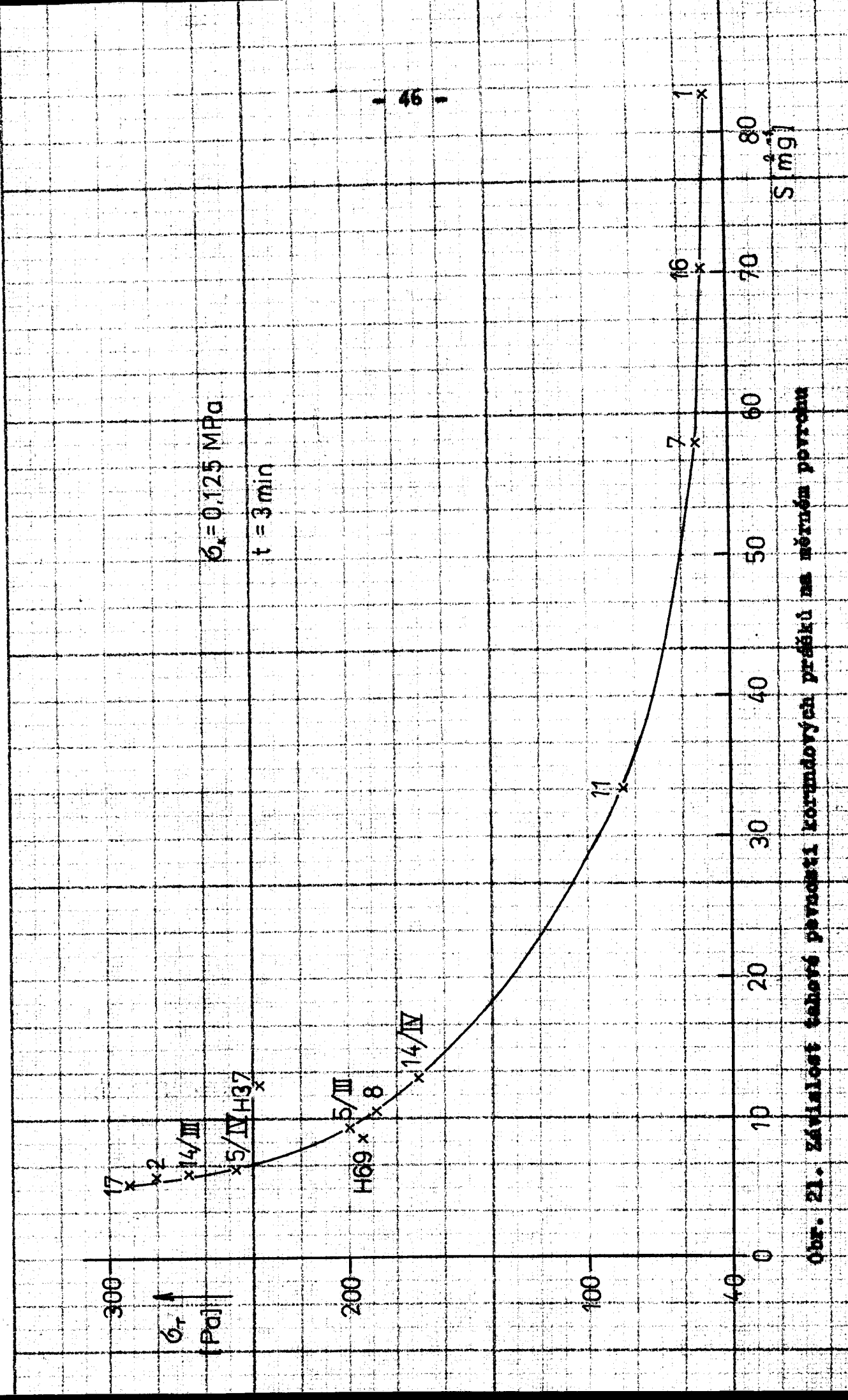
Pro každý vzorek bylo naměřeno 5 hodnot a byl brán jejich průměr. Naměřené hodnoty jsou shrnuty v tabulce 9.

Tab. 9. Průměrné hodnoty tahových pevností

Vzorek	$\sigma_t / \text{Pa} /$	Vzorek	$\sigma_t / \text{Pa} /$
17	290,02	H 37	235,77
2	278,74	14/IV	181,50
14/III	264,99	11	84,24
5/IV	244,92	7	53,12
H 69	192,97	16	50,58
5/III	198,22	1	47,40
8	187,29		

Při grafickém znázornění závislosti jsme získali exponenciální křivku se záporným exponentem obr. 21. Ze závislosti vyplývá, že tahová pevnost exponenciálně klesá s rostoucím měrným povrchem.

Z této závislosti se výrazně vymykají dva body, které přísluší vzorkům H 37 a H 69. Příčina bude zřejmě v tom, že tyto vzorky byly kalcinovány za jiných podmínek.



Obecně můžeme konstatovat, že exponenciální závislosti získáme jenom pro sérii vzorků, které byly kalcinovány za stejných podmínek.

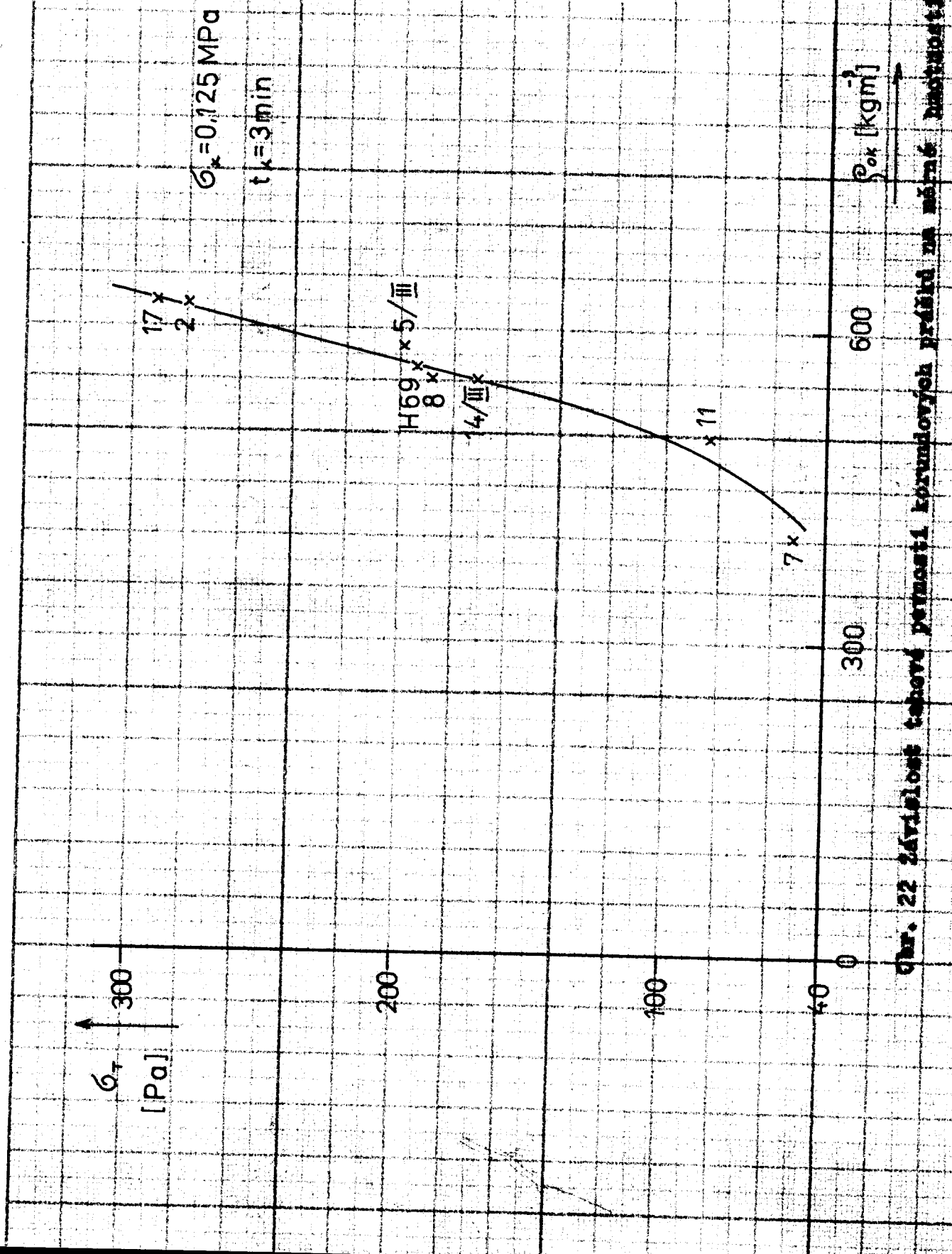
B. Současně s proměřováním tahové pevnosti vzorků byla u osmi z nich stanovena i měrná hmotnost. Měření probíhalo za stejných podmínek (kap. 4.2.A.). Naměřené hodnoty jsou zaneseny do tab. 10.

Vzorek	$\rho_{ok} / \text{kg m}^{-3}$	Vzorek	$\rho_{ok} / \text{kg m}^{-3}$
17	622,65	8	550,71
2	620,18	14/IV	551,64
5/III	581,20	11	495,84
H 69	559,60	7	402,51

Tab. 10. Průměrné hodnoty měrných hmotností.

Grafické zobrazení závislosti tahové pevnosti na měrné hmotnosti je na obr. 22. Je patrné, že s rostoucí měrnou hmotností rostou i hodnoty tahové pevnosti u proměřovaných vzorků.

Měření měrné hmotnosti je velmi jednoduché a rychlé a jeho určením, aniž naměříme tahovou pevnost, získáme rychlou informaci o kvalitě práškových materiálů. Z praxe je známo, že pro mechanické zpracování jsou vhodnější práškovité materiály s menší tahovou pevností, která odpovídá i menší měrné hmotnosti, jež je snadno měřitelná.



#### 4.3. Závislost měrné hmotnosti na měrném povrchu.

Z hodnot měrných hmotností, které byly naměřeny v kap. 4.2. byla pro 10 vzorků vypracována další vhodná závislost, která nám může rozšířit znalosti o vlastnostech korundových prášků.

Je to závislost měrné hmotnosti na měrném povrchu. Z grafických zobrazení (obr.23) můžeme vyčíst, že měrná hmotnost klesá exponenciálně s rostoucím měrným povrchem.

#### 4.4. Vliv vlhkosti na tahovou pevnost.

Při dosavadním měření charakteristik korundových prášků byly používány vzorky, které byly vystaveny vlivu laboratorní atmosféry a z tohoto důvodu měl ... každý z nich určitou vlhkost, kterou bylo možné sušením a vážením stanovit. Otázkou bylo, zda-li má vlhkost vliv na tahovou pevnost korundových prášků. Byly vybrány tři vzorky, které byly uloženy v laboratorních podmínkách, tedy o určité vlhkosti a byly stanoveny jejich tahové pevnosti. Tyto vzorky byly potom vysušeny (vlhkost W=0) a opět byly stanoveny jejich tahové pevnosti. Nakonec byly určeny vlhkosti nevysušených vzorků.

Naměřené hodnoty byly shrnuty a pozorovány v tabulce 11. Z naměřených a srovnáných hodnot můžeme konstatovat, že při neutrálité vlhkosti byly hodnoty tahových pevností nižší.

Dne. 23. září 1986 měření tlakových vlastností na hrázi potoka

$S \text{ [mg l}^{-1}\text{]}$

0 10 20 30 40 50 60

- 50 -

7

17

11

$G_k = 0,125 \text{ MPa}$   
 $t_k = 3 \text{ min}$

5/III

172

$\sigma_{ok} \text{ [kg m}^{-2}\text{]}$

H 69 H 37  
x x x x 14/V

300

Vlhkost má tedy vliv na tahovou pevnost. Zatím však není známo v jakém rozsahu vlhkostí tento jev platí.

Vzorek	2		H 37		H 69	
Vlhkost W /%	0	0,240	0	0,464	0	0,455
Tahová pevnost $\sigma_t$ /Pa/	261,29	278,94	191,35	235,77	158,65	192,97

Tab. 11. Srovnání tahových pevností pro různé vlhkosti.

#### 4.5. Shrnutí poznatků a grafických závislostí.

Z naměřených hodnot můžeme me učinit tyto závěry:

- 1 - Tahová pevnost korundových prášků stoupá s rostoucím konsolidačním napětím.
- 2 - Měrná hmotnost je závislá na konsolidaci a s rostoucím konsolidačním napětím se zvyšuje zhutnění.
- 3 - S rostoucím měrným povrchem klesá tahová pevnost.
- 4 - Se stoupající měrnou hmotností stoupají i hodnoty tahové pevnosti.
- 5 - Měrná hmotnost klesá s rostoucím měrným povrchem.
- 6 - Tahová pevnost suchých prášků je nižší než tahová pevnost prášků o určité vlhkosti.

## 5. ZÁVĚR

V práci je shrnuta problematika měření pevnostních charakteristik korundových prášků se zaměřením na určování tahové pevnosti a za tímto účelem, dokončení a ověření přístroje tahové pevnosti, který byl navrhnut v Ústavu základů chemické techniky ČSAV v Praze.

Stručná charakteristika problému měření pevnostních charakteristik prášků provedená v první kapitole, naznačila cestu, kterou bude výhodné se dále ubírat, tj. měření tahové pevnosti.

Ve druhé části práce byl popsán a ověřen při aplikaci na korundové prášky translační přístroj tahové pevnosti, který byl zapůjčen Ústavem základů chemické techniky ČSAV v Praze.

Lze konstatovat, že tento přístroj není vhodný pro měření korundových prášků, neboť jeho citlivost je velmi nízká a silně abrazivní prášky rychle poškozují pohybová ústrojí přístroje, což se nepříznivě projevuje při vlastním měření, kdy získáváme nereprodukované hodnoty tahových pevností.

Vlastní dokončení a ověření modifikovaného přístroje tahové pevnosti, který byl rozpracován v Ústavu základů chemické techniky ČSAV v Praze, je popsáno ve třetí části práce.

Při ověřování vynikly přednosti tohoto přístroje, který je schopen spolehlivě měřit tahovou pevnost korundových prášků, až na malé výjimky (vzorek U 17).

## Z Á V Ě R

Dokončením tohoto přístroje se nám naskytla možnost rozšířit znalosti o mechanických vlastnostech korundových prášků.

V poslední části práce byla proměřena série korundových prášků a vhodným zpracováním výsledků jsme získali důležité závislosti mezi jednotlivými parametry prášků, které mohou mít význam při klasifikaci surovin, které vstupují do procesu výroby korundových trubic, při které je v současné době značné procento výmětu. Korundové prášky mají v celém procesu výroby dominantní postavení a na jejich kvalitě a různosti závisí množství výmětu. Je tedy žádoucí zpracovávat suroviny o stejnych mechanických vlastnostech, k jejichž určení může posloužit i tahová pevnost.

--

L I T E R A T U R A

- /1/ F e d a J. : Smyková pevnost písku, Rozpravy ČSAV 1963, seš. 4
- /2/ K l a b l e n a P., Menzelová O. : Zjišťovanie šmykovej pevnosti pri cyklickom namáhaní, ALFA Bratislava
- /3/ F e d a J. : Základy mechaniky partikulárnych látok, Academia Praha 1977
- /4/ Bishop et al. : A new ring shear apparatus and its application to the measurement of residual strength Geotechnique 21, 1971, 4, 273-328
- /5/ N o v o s a d J. : Mechanika sypkých hmot, Institut pro výchovu vedoucích spolupracovníků min. prům. ČSR Praha 1977
- /6/ N o v o s a d J. ; Majzlík R., Pavlištík J. : Měření tahové pevnosti sypkých materiálů, Chemický průmysl, roč. 27/52 (1977), čís. 4, 171 - 174
- /7/ N o v o s a d J., Kostelková E. : Hodnocení tahové pevnosti sypkých materiálů, Ústav teoretických základů chemické techniky, ČSAV Praha
- /8/ Novotný F. : Příspěvek k problematice zhotovení keramických prášků, Písemná část odborné zkoušky kandidátského minima, Liberec 1978
- /9/ B r o ž J. , kol : Základy fyzikálních měření I. díl, SNP Praha 1967
- /10/ ČSN 01 0250, Statistické metody v průmyslové praxi, 1. 7. 1973

L I T E R A T U R A

/11/ HAŠKOVÁ E., NOVOTNÝ F. : Lisování keramických prášků,  
Závěrečná zpráva školu P 01 - 124 - 010/01,  
VŠST Liberec 1979, 52 str.